

РЕШЕНИЕ ЗАДАЧ О ВОЗДЕЙСТВИИ ДИНАМИЧЕСКИХ ИСТОЧНИКОВ В МАССИВАХ ГОРНЫХ ПОРОД С ПОДЗЕМНЫМИ ВЫРАБОТКАМИ

Журавков М.А., Плескачевский Ю.М., Круподеров А.В.
Белорусский государственный университет, krupoderov@tut.by

Введение

Исследования, связанные с изучением последствий воздействия динамических нагрузок различной природы на деформируемые среды приобретают все большую актуальность. Задачи такого типа встречаются во всех разделах и направлениях современной техники. Так, в авиации, машиностроении и строительстве обширный класс составляют задачи, связанные с воздействием нерегулярно-циклических нагрузок (ударные волны, ветровая нагрузка, вибрация) на машины, механизмы, конструкции и сооружения. В строительстве (гражданском, промышленном, гидротехническом, специальных подземных сооружений и др.), горном деле к катастрофическим последствиям может привести воздействие сейсмических, взрывных и циклических нагрузок на области породной толщи с подземными и наземными сооружениями.

Следует отметить тот факт, что количественные и качественные проявления деформационных процессов, являющиеся следствием воздействия динамических нагрузок, могут иметь совершенно различный характер. Так, проблема моделирования и изучения процессов распространения волн разрушения и инициированного ими движения больших объемов породных массивов, приводящего, в свою очередь, к возникновению динамических срывов различной интенсивности, представляет собой одно из наиболее актуальных и важных направлений построения общей теории катастрофических геомеханических явлений [1].

В данной работе приводится решение задач, связанных с изучением воздействия динамических нагрузок на области массивов горных пород с подземными сооружениями. Рассматривается решение модельных задач по определению возмущенного напряженно-деформированного состояния в массиве горных пород с выработанным пространством в случае действия в массиве динамической нагрузки, имеющей импульсный характер. Модели массива строятся на основе использования теории упругости и вязкоупругости.

Решение модельных задач

Задача 1. Рассмотрим задачу о распространении возмущений в упругом бесконечном пространстве со сферической полостью, к граничной поверхности которой приложено нормальное равномерно распределенное давление.

Данная задача является одной из задач о распространении сферических волн. В силу этого, все искомые компоненты НДС зависят только от радиальной координаты [2]. При решении задачи будем использовать следующие безразмерные параметры:

$$r' = \frac{r}{R}, u = \frac{u}{R}, \tau = \frac{c_1 t}{L}, \sigma' = \frac{\sigma}{\lambda + 2\mu}, \gamma_1 = \frac{c_1}{c_2}, \eta = \frac{c_1}{c_2}, \kappa = 1 - 2/\eta^2. \quad (1)$$

Далее штрихи в обозначениях безразмерных координат опускаем. Математическая постановка задачи выглядит следующим образом:

$$\ddot{u}_r = u_{,rr} + \frac{2}{r}u_{,r} - \frac{2}{r^2}u$$

$$(\alpha u + \beta u_{,r})_{r=1} = q(\tau),$$

$$u|_{\tau=0} = 0, \quad \dot{u}|_{\tau=0} = 0,$$

$$u_r \rightarrow 0 \text{ при } r \rightarrow \infty,$$

где $\alpha = 2\kappa, \beta = 1, q$ – радиальное напряжение на сфере ($q=p$), r – безразмерный радиус, выражение для κ дается формулой (1).

Решение задачи в общем случае при любых значениях параметров α, β имеет следующий вид [2]

$$u(r, \tau) = G_u(r, \tau) * q(\tau),$$

$$\sigma(r, \tau) = G_\sigma(r, \tau) * q(\tau),$$

$$G_u(r, \tau) = -\frac{1}{r^2} R_u(r, \tau - \gamma(r-1)) H(\tau - \gamma(r-1)),$$

$$G_\sigma(r, \tau) = \frac{1}{r^3} R_\sigma(r, \tau - \gamma(r-1)) H(\tau - \gamma(r-1)),$$

$$R_u(r, \tau) = 2 \operatorname{Re} \frac{P_1(rz_1)}{P_2(z_1)} e^{z_1 \tau} = 2 \operatorname{Re} \frac{rz_1 + 1}{2(z_1 + 1 - \kappa)} e^{z_1 \tau} =$$

$$= \exp(-a\tau) \left(r \cos(b\tau) + \frac{1-ra}{b} \sin(b\tau) \right);$$

$$R_\sigma(r, \tau) = r^2 \delta(\tau) + 4(1-\kappa)(1-r) \operatorname{Re} \frac{P_\sigma(rz_1)}{P_2(z_1)} e^{z_1 \tau} = r^2 \delta(\tau) + 2(1-\kappa)(1-r) \times$$

$$\times \operatorname{Re} \frac{rz_1 + r + 1}{(z_1 + 1 - \kappa)} e^{z_1 \tau} = r^2 \delta(\tau) + \frac{2b(1-r)e^{-a\tau}}{(1+\kappa)} (rb \cos(b\tau) + (1+r\kappa) \sin(b\tau)).$$

Рассмотрим следующую задачу – на сферу воздействует импульсная нагрузка со случайным характером действия отдельных импульсов во времени. То есть формула для действующей нагрузки имеет вид: $p(\tau) = \sum_{k=0}^N \delta(\tau - \tau_k)$. На рис.1, а и б приведены графики

изменения перемещения u от времени τ в пространстве на расстоянии $r=2$ от центра сферы в случае воздействия различного количества случайных импульсов:

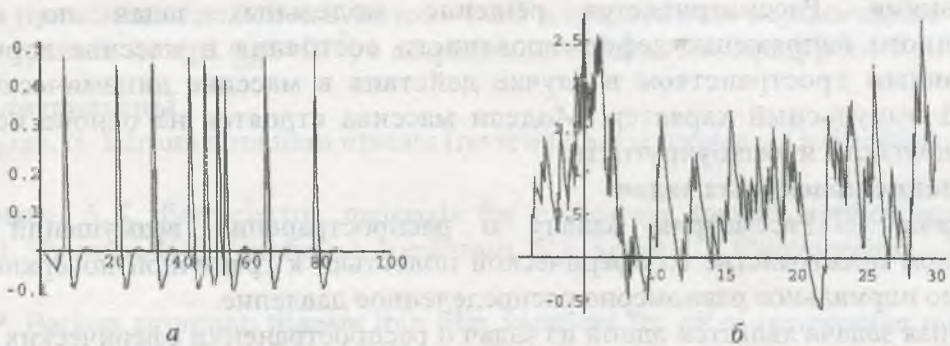


Рисунок 1 – Зависимость перемещений u от времени τ в пространстве со сферической полостью на расстоянии $r=2$ от центра при воздействии 10 и 100 случайных импульсов.

Рис. 1 весьма ярко показывает, что характер перемещений в пространстве со внутренней сферой, на поверхности которой действует импульсная нагрузка, может достаточно сильно изменяться в зависимости от внешнего нагружения.

Волна деформаций может иметь скачки амплитуды, которые в свою очередь могут превышать величину критических перемещений.

Задача 2. Рассмотрим задачу аналогичную предыдущей, усложненную учетом вязкости в упругой среде. Решение для вязко-упругого материала получается на основе использования принципа соответствия [3], т.е. заменой $\lambda + 2\mu$ и 2μ соответствующими комплексными модулями девиатора Y_s и объемного расширения Y_v :

$$\mu \rightarrow \frac{1}{2} Y_s, \lambda \rightarrow \frac{1}{3} (Y_v - Y_s).$$

Конкретный вид комплексных модулей определяется выбором соответствующей вязкоупругой модели поведения материала. Выпишем здесь формулу для радиального напряжения:

$$\sigma = -\frac{1}{\pi} \frac{R^3}{r^3} I \operatorname{Re} \left\{ \int_0^{\infty} e^{i\omega t} \frac{6Y_s(1 + \omega r \sqrt{\rho J(i\omega)}) + 3\rho\omega r^2}{6Y_s(1 + \omega R \sqrt{\rho J(i\omega)}) + 3\rho\omega R^2} e^{-\omega \sqrt{\rho J(i\omega)}(r-R)} d\omega \right\},$$

где $J(i\omega)$ обозначает комплексную податливость [4].

В качестве примера рассмотрим элемент Кельвина-Фойгта (комбинация упругого и вязкого элементов, соединенных параллельно). Комплексные модули в данном случае имеют вид:

$$Y_s = 2\mu + 2\eta s, Y_v = \frac{2\mu(1+\nu)}{(1-2\nu)},$$

где s – параметр преобразования Лапласа.

Воздействие нагрузки от времени задается в виде треугольного импульса

$$I(t) = tH(t) - 2(t-1/2)H(t-1/2) + (t-1)H(t-1),$$

где H – функция Хевисайда.

На рис. 2 приведены графики перемещений для упругой и вязкоупругой сред при следующих упругих характеристиках среды ($E = 10^{10}$ Па, $\nu = 0.3$, $\eta = 10^6$ Па·с). На рис. 2.а. приведены графики перемещений для момента времени $t=0.0017$ с, а на рис. 2.б. для момента времени $t=0.005$ с. Сплошная кривая – решение с учетом вязкости, пунктирная – без учета. Анализ рисунков позволяет сделать вывод о том, что вязкие свойства могут оказывать существенное влияние на НДС массива.

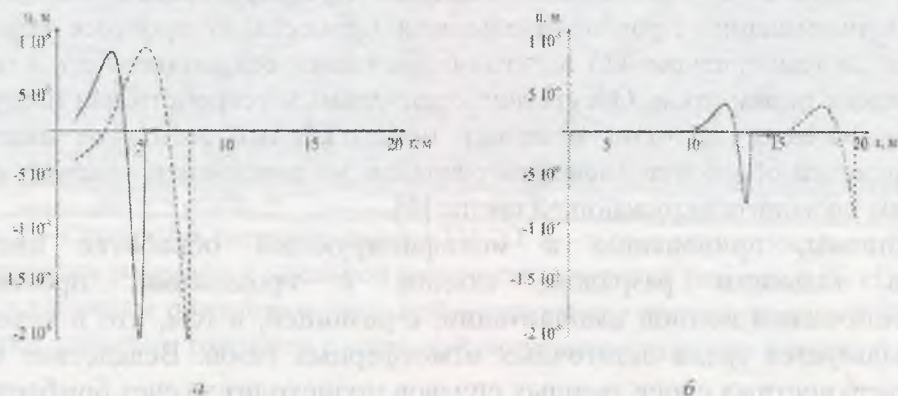


Рисунок 2 – Графики перемещений для упругой и вязкоупругой сред.

Список литературы

1. Журавков М.А., Стагурова О.В., Ковалева М.А. Геомеханический мониторинг горных массивов – Мн.: Юникап, 2002.
2. Горшков А.Г. и др. Волны в сплошных средах – Москва: Физматлит, 2004.
3. Мэйз, Дж. Теория и задачи механики сплошных сред – М.: URSS, 2007.
4. Bland D. R. The theory of linear viscoelasticity – PERGAMON PRESS, 1960.